

第四周作业报告

佐藤拓未 20300186002

第一问

证明隐式 Euler 格式是一阶收敛的

证明: 考虑系统 $\frac{du}{dt} = f(t, u)$, f 关于 u 是 L-lipshitz 连续, 且 $\|u''\|_{C[0,T]} \leq M$
联立以下二式

$$\begin{cases} u(t_{n+1}) &= u(t_n) + \Delta t f(t_{n+1}, u(t_{n+1})) + R_{n+1} \\ u_{n+1} &= u_n + \Delta t f(t_{n+1}, u_{n+1}) \end{cases}$$

记 $e_{n+1} = u(t_{n+1}) - u_{n+1}$, 则有以下

$$\begin{aligned} |e_{n+1}| &\leq |e_n| + L\Delta t |e_{n+1}| + |R_{n+1}| \\ &\leq |e_n| + L\Delta t |e_{n+1}| + \frac{M\Delta t^2}{2} \end{aligned}$$

那么

$$|e_{n+1}| \leq \frac{1}{1 - L\Delta t} |e_n| + \frac{1}{1 - L\Delta t} \frac{M\Delta t^2}{2}$$

再考虑如下, 当 Δt 足够小时有 $L\Delta t \leq \frac{1}{2}$ 时

$$\frac{1}{1 - L\Delta t} = \frac{1 - (L\Delta t)^2 + (L\Delta t)^2}{1 - L\Delta t} \leq 1 + L\Delta t + \frac{(L\Delta t)^2}{1 - L\Delta t} \leq 1 + 3L\Delta t$$

也有 $\frac{1}{1-L\Delta t} \leq 2$, 从而

$$\begin{aligned} |e_{n+1}| &\leq (1 + 3L\Delta t)|e_n| + M\Delta t^2 \\ &\leq (1 + 3L\Delta t)^{n+1}|e_0| + M\left(\sum_{k=0}^{n+1}(1 + 3L\Delta t)^k\right)\Delta t^2 \end{aligned}$$

考虑 $(1 + 3L\Delta t)^{n+1} \leq e^{3LT}$, 其中 T 是有限数, 且

$$\begin{aligned} |e_{n+1}| &\leq e^{3LT}|e_0| + M(n+1)e^{3LT}\Delta t^2 \\ &\leq e^{3LT}|e_0| + M\frac{(n+1)\Delta t}{\Delta t}e^{3LT}\Delta t^2 \\ &\leq e^{3LT}|e_0| + MT e^{3LT}\Delta t \end{aligned}$$

再由 $|e_0| = 0$, 就可知隐式 Euler 格式是一阶收敛的。

第二问

用显式、隐式、改进、修正 Euler 格式计算 $\frac{du}{dt} = au$, 并用图说明其收敛性 (其中 $a = -2$, $u_0 = 1$, $T = 1$, Δt 任取)

解: 设不同格式的迭代初值 $u_0 = 1$

利用 MATLAB 分别建立显式、隐式、改进、修正 Euler 格式的子程序, 并分别利用子程序绘制在步长 $\Delta t = 0.08$ 下近似解的图像, 各近似解以及它们与精确解 $u(t) = e^{-2t}$ 的绝对误差如下所示:

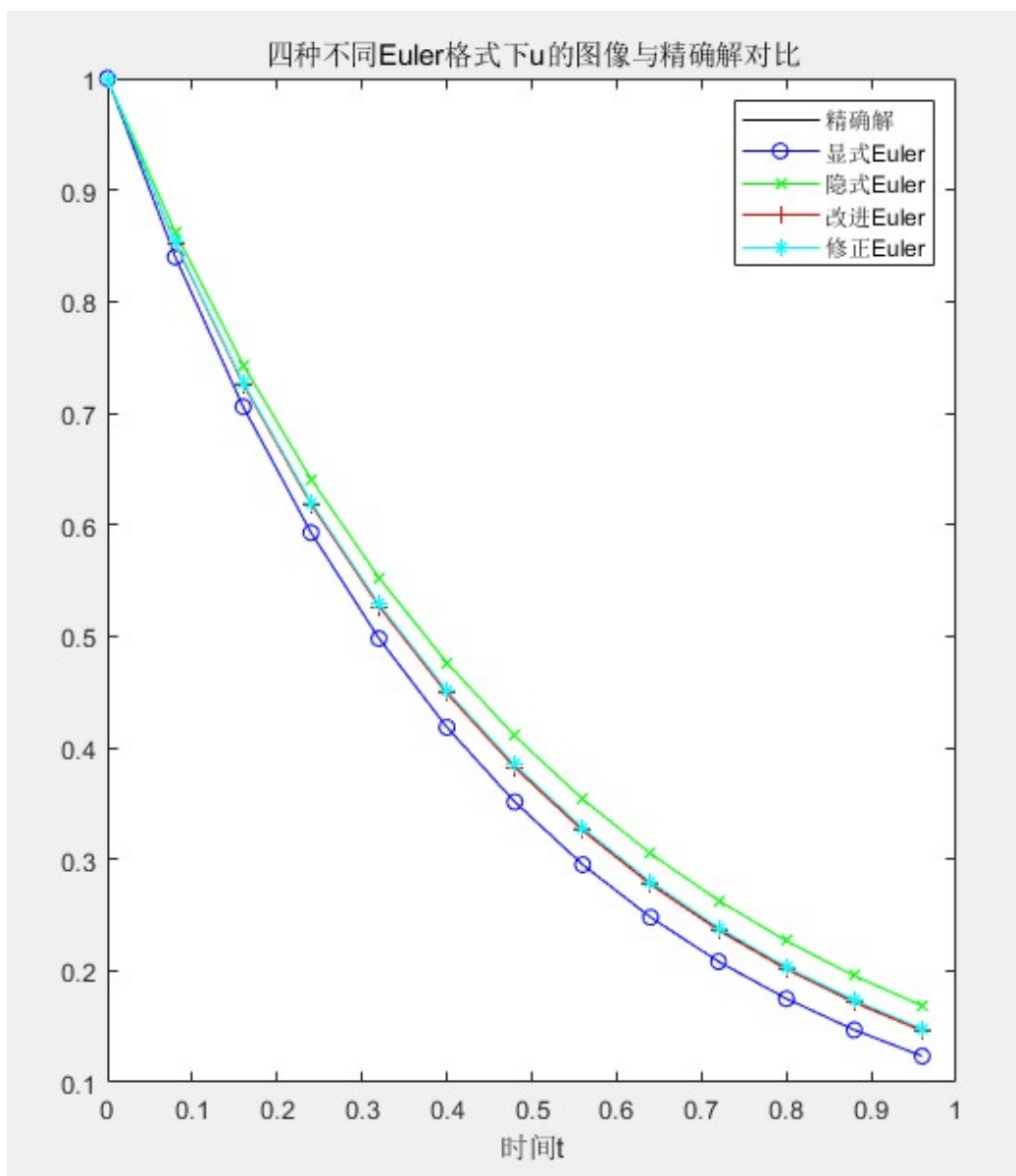


图 1: 步长为 0.08; 横坐标对应了时间 t ; 纵坐标对应不同近似解以及精确解的函数值

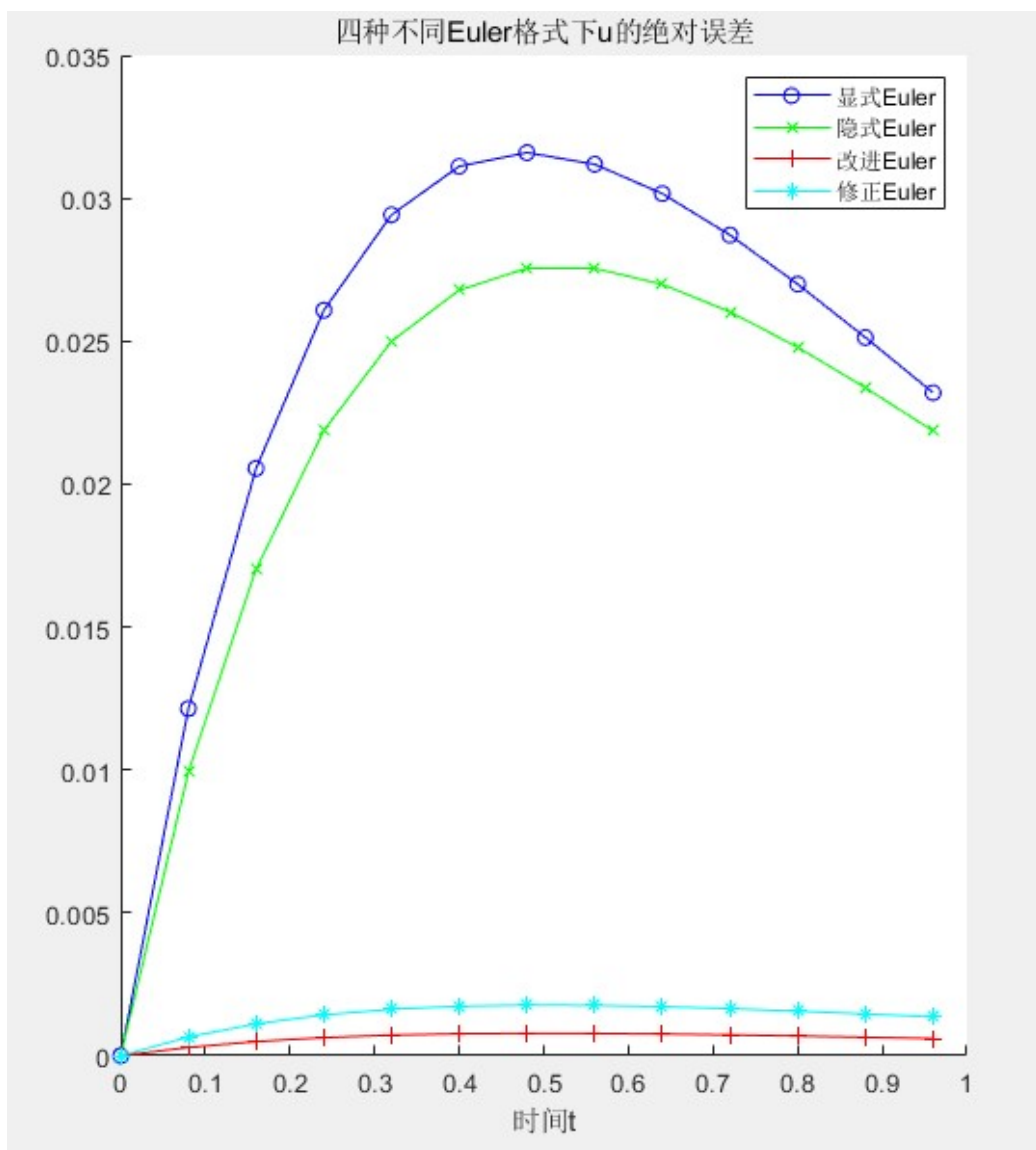


图 2: 步长为 0.08; 横坐标对应了时间 t ; 纵坐标对应不同近似解与精确解的绝对误差

从上图可以看出, 当步长 $\Delta t = 0.08$ 时, 显式 Euler 与隐式 Euler 格式的精度式较差的, 它们的最大误差分别达到了 3.16×10^{-2} 以及 2.75×10^{-2} ; 而改进与修正 Euler 格式的精度相当且收敛精度较好, 它们的绝对误差控

制在 1.8×10^{-3} 以内。

第三问

给出修正和改进 Euler 格式的稳定性分析和绝对稳定区间

解：绝对问题区间考虑测试问题 $\frac{du}{dt} = au$

对于改进的 Euler 格式： $u_{n+1} = u_n + \Delta t f_{n+\frac{1}{2}}$ ，其中 $f_{n+\frac{1}{2}} = \frac{f_n + f_{n+1}}{2}$

首先考虑其扰动：设现有扰动 $\widetilde{u_{n+1}} = \widetilde{u_n} + \frac{\Delta t(f(t_n, \widetilde{u_n}) + f(t_{n+1}, \widetilde{u_{n+1}}))}{2}$ ，那么由

$u_{n+1} = u_n + \frac{a\Delta t}{2}(u_n + u_{n+1})$ ，可知 $u_{n+1} = (1 + \frac{a\Delta t}{1 - \frac{a\Delta t}{2}})u_n$ ，也有

$$\begin{aligned}\widetilde{e_{n+1}} &= u_{n+1} - \widetilde{u_{n+1}} \\ &= (1 + \frac{a\Delta t}{1 - \frac{a\Delta t}{2}})^{n+1} \widetilde{e_0} = (\frac{1 + \frac{a\Delta t}{2}}{1 - \frac{a\Delta t}{2}})^{n+1} \widetilde{e_0}\end{aligned}$$

考虑改进的 Euler 格式的绝对稳定区域：由上讨论可知，只需要

$$|(1 + \frac{a\Delta t}{1 - \frac{a\Delta t}{2}})| \leq 1$$

令 $z = a\Delta t$ ，就有改进的 Euler 格式的绝对稳定区域 $\{|\frac{2+z}{2-z}| \leq 1\}$

而对于一般的系统 $\frac{du}{dt} = f(t, u)$ ，且 f 关于 u 是 L -lipschitz 连续，经计算可知有如下

$$|\widetilde{e_{n+1}}| \leq (\frac{1 + \frac{L\Delta t}{2}}{1 - \frac{L\Delta t}{2}})^{n+1} |\widetilde{e_0}|$$

不妨就令 $L = |a|$ ：当 Δt 足够小时，有 $\frac{|a|\Delta t}{1 - \frac{|a|\Delta t}{2}} \leq 2|a|\Delta t$ ，且 $(1 + 2|a|\Delta t)^{n+1} = (1 + 2|a|\Delta t)^{(n+1)\frac{1}{2|a|\Delta t}2|a|\Delta t} \leq e^{2|a|\Delta t(n+1)}$ ，从而

$$|\widetilde{e_{n+1}}| \leq e^{2|a|T} |\widetilde{e_0}|$$

其中 T 有限，从而可知改进的 Euler 格式是稳定的

对于修正的 Euler 格式: $u_{n+1} = u_n + \Delta t f_{n+\frac{1}{2}}$, 其中 $f_{n+\frac{1}{2}} = f(t_{n+\frac{1}{2}}, u_n + \frac{\Delta t}{2} f_n)$
 可知测试问题中, $u_{n+1} = u_n + a\Delta t(u_n + \frac{\Delta t}{2} f_n)$, 进一步可知

$$\begin{aligned}\widetilde{e_{n+1}} &= \widetilde{e_n} + a\Delta t[(u_n - \widetilde{u_n}) + \frac{\Delta t}{2}(f_n - \widetilde{f_n})] \\ &= (1 + a\Delta t + \frac{(a\Delta t)^2}{2})\widetilde{e_n}\end{aligned}$$

令 $z = a\Delta t$, 可知修正的 Euler 格式的绝对稳定区域 $\{|1 + z + \frac{z^2}{2}| \leq 1\}$
 一般地, 可知当 f 是关于 u 为 $|a|$ -lipschitz 连续时

$$\begin{aligned}|\widetilde{e_{n+1}}| &\leq |\widetilde{e_n}| + |a|\Delta t|\widetilde{e_n}| + \frac{|a|\Delta t^2}{2}|f_n - \widetilde{f_n}| \\ &\leq (1 + |a|\Delta t + \frac{(|a|\Delta t)^2}{2})^{n+1}|\widetilde{e_0}|\end{aligned}$$

当 Δt 足够小时, $\frac{(|a|\Delta t)^2}{2} \leq |a|\Delta t$, 从而有 $|\widetilde{e_{n+1}}| \leq (1 + 2|a|\Delta t)^{n+1}|\widetilde{e_0}|$, 那么由上面的讨论可得 $|\widetilde{e_{n+1}}| \leq e^{2|a|T}|\widetilde{e_0}|$, 知修正的 Euler 格式是稳定的

第四问

用 Taylor 级数法, $q = 1, 2, 3$, 计算:

$$\frac{du}{dt} = u - u^2$$

画图说明精度

解: $u(t) = \frac{1}{(\frac{1}{u_0}-1)e^{-t}+1}$, 其中 $u_0 \geq 0$, 以及 $\phi(t, u(t); \Delta t) = \sum_{j=1}^q \frac{\Delta t^{j-1}}{j!} \frac{d^{j-1}f(t, u(t))}{dt^{j-1}}$

当 $q = 1$ 时, $u_{n+1} = u_n + \Delta t \phi(t_n, u_n; \Delta t) = u_n + \Delta t f(t_n, u_n) = u_n + \Delta t u_n - \Delta t u_n^2$

当 $q = 2$ 时, $u_{n+1} = u_n + \Delta t f(t_n, u_n) + \frac{\Delta t^2}{2}[f'_t(t_n, u_n) + f'_u(t_n, u_n)f(t_n, u_n)]$
 $= u_n + \Delta t u_n - \Delta t u_n^2 + \frac{\Delta t^2}{2}[(1 - 2u_n)(u_n - u_n^2)]$

当 $q = 3$ 时, $u_{n+1} = u_n + \Delta t u_n - \Delta t u_n^2 + \frac{\Delta t^2}{2}[(1 - 2u_n)(u_n - u_n^2)] + \frac{\Delta t^3}{6}[-2(u_n - u_n^2)^2 + (1 - 2u_n)^2(u_n - u_n^2)]$

事实上, $q = 2, 3$ 时也可以看作是显式 Euler 格式, 将 $\phi(t_n, u_n; \Delta t)$ 代入第二问中的子程序即可得出对应的近似解。

当 $u_0 = 0.5, t_0 = 0, T = 1, \Delta t = 0.08$ 的图像如下图所示:

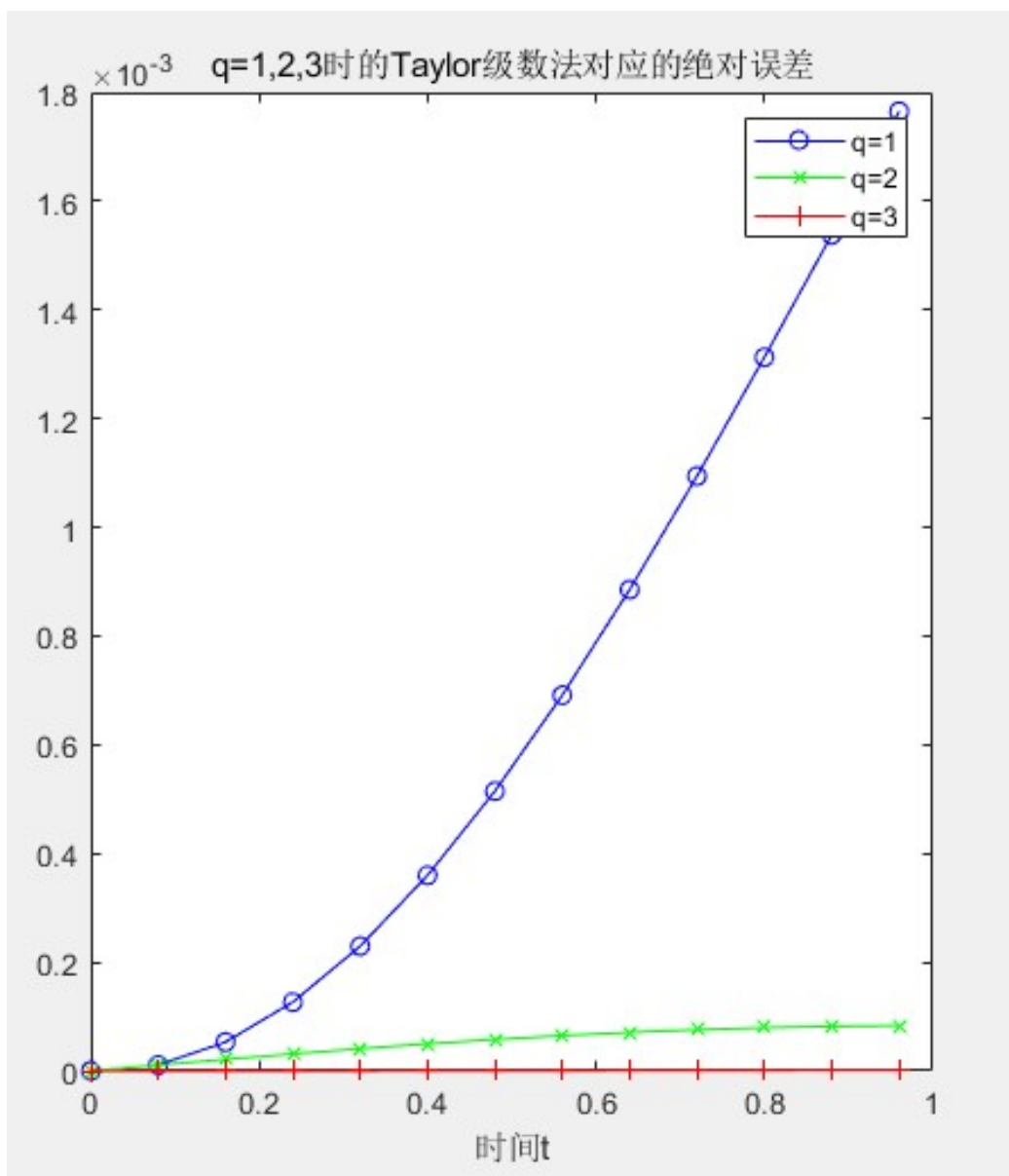


图 3: 初值为 0.5; 步长为 0.08; 横坐标对应了时间 t ; 纵坐标对应不同近似解与精确解的绝对误差

当 $u_0 = 0.5, t_0 = 0, T = 1, \Delta t = 0.08$ 时, $q = 1$ 的收敛精度控制在 1.8×10^{-3}

以内; $q = 2, 3$ 的收敛精度均控制在 8.4×10^{-5} 以内。可知此情形下, $q = 2, 3$ 的收敛精度要优越得多。

当 $u_0 = 1.5, t_0 = 0, T = 1, \Delta t = 0.08$ 时的图像如下:

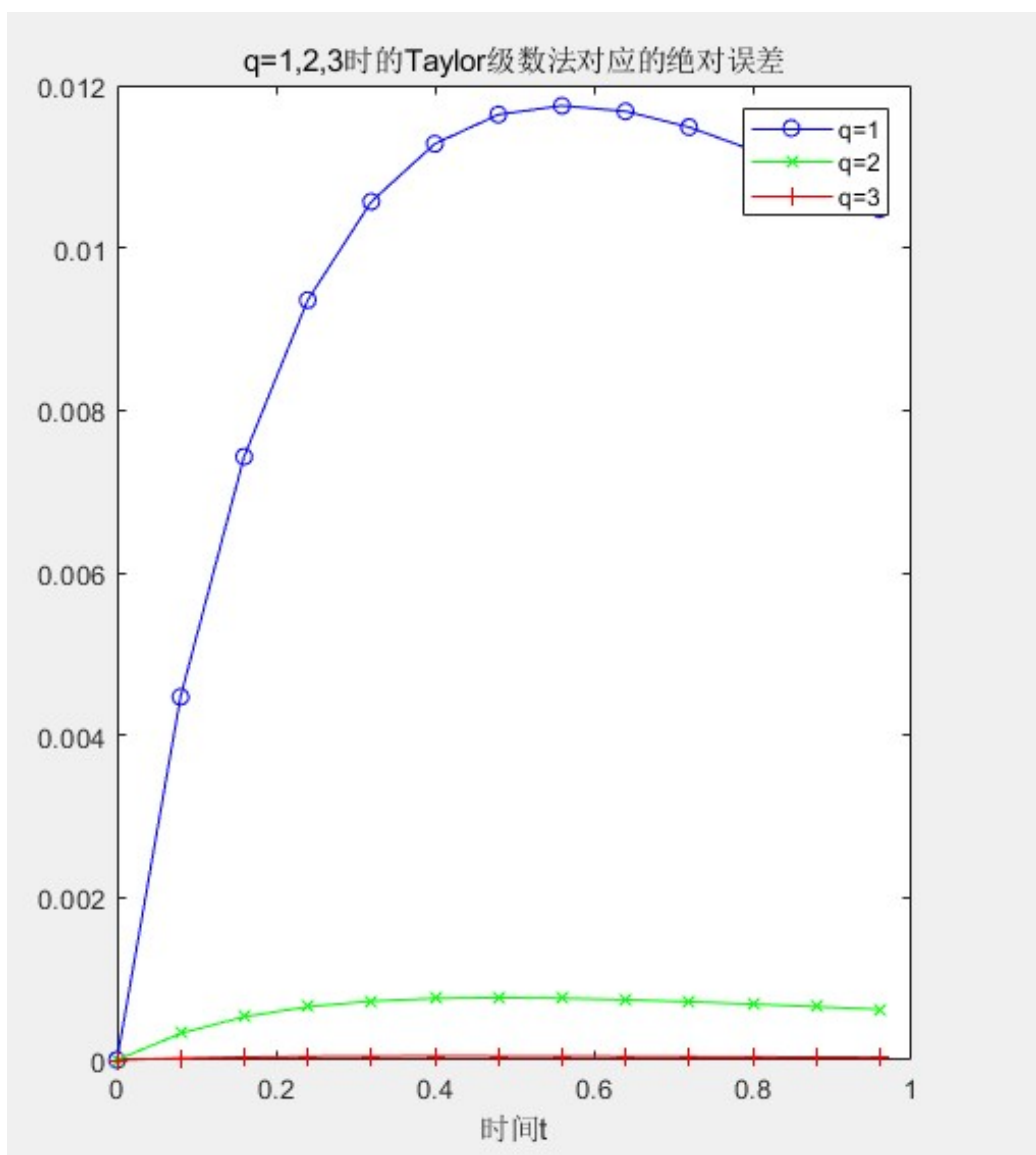


图 4: 初值为 1.5; 步长为 0.08; 横坐标对应了时间 t ; 纵坐标对应不同近似解与精确解的绝对误差

当 $u_0 = 1.5, t_0 = 0, T = 1, \Delta t = 0.08$ 时, $q = 1$ 的收敛精度控制在 1.2×10^{-3} 以内; $q = 2, 3$ 的收敛精度均控制在 7.7×10^{-4} 以内。
总之, 随着 q 越来越高, Taylor 级数法的精度会越来越高。